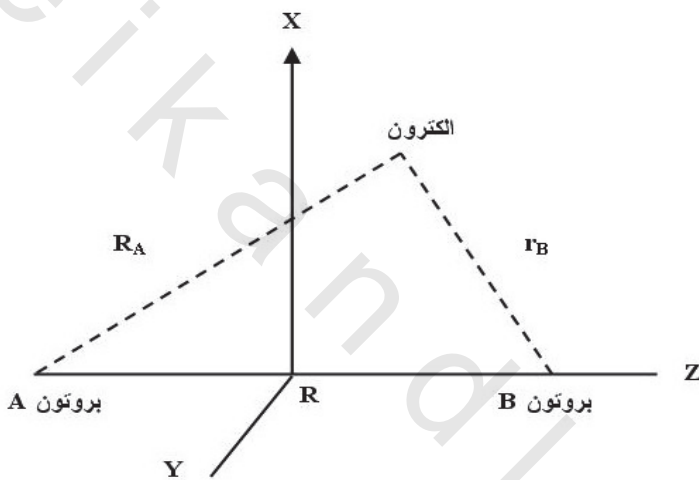


## الباب السابع

### طرق المدار الجزيئي في كيمياء الكم

(أ) أيون جزء الهيدروجين :  $\text{H}_2^+$  .

وهو أبسط جزء ويحتوي على بروتونين وإلكترون واحد ، كما هو موضح في الشكل التالي :



مخطط يوضح المسافات المستخدمة في مسألة أيون جزء الهيدروجين

إن هذا الأيون قد اكتشفه لومبسون Thompson في الأشعة الكاثودية ووجد أنه يمتلك مسافة نووية بينية ( عند التوازن ) تساوي  $1.060 \text{ A}^\circ$  وطاقة ربط مقدارها هو  $2.791 \text{ eV}$  .

وفي المعالجة المهمة لهذه المسألة ندون الخطوات التي غالباً ما تستخدم :  
١- اختار دلالات موجية مناسبة ( قد تتضمن بعضها من عوامل التغيير ) .

٢- نختار قيمة للمسافة النووية بينية ( أي المسافة بين النواتين ) .

٣- حل معادلة شروdonker لإيجاد الطاقة .

٤- إذا أدخلنا في الدالة عوامل تغير ، فإنه ينبغي تخفيض الطاقة إلى الحد الأدنى نسبة إلى هذه العوامل باستخدام طريقة التغيير .

٥- نعيد ما ذكر أعلاه ولكن مع مسافات نووية بينية أخرى من أجل الحصول على مخطط لـ  $E$  مقابل المسافة النووية بينية .

والآن لنكتب المؤثر الهايملتوني لهذا الجزء كما يلي :

$$\hat{H} = -\frac{\hbar^2}{2m_e} \nabla_e^2 - \frac{\hbar^2}{2m_A} \nabla_A^2 - \frac{\hbar^2}{2m_B} \nabla_B^2 - \frac{e^2}{r_B} + \frac{e^2}{R} \quad \dots (177)$$

وباستخدام تقريب بورن - أوبيهيمير . فإنه يمكننا فصل الحركات النووية عن الحركات الإلكترونية لمسافة نووية بينية معلومة . وهذا فإن المسألة التي تهمنا ( أي الحركات الإلكترونية ) ستحتزل المؤثر الهايملتوني إلى الصيغة التالية :

$$\hat{H} = -\frac{\hbar^2}{2m_e} \nabla_e^2 + \left\{ -\frac{e^2}{r_A} - \frac{e^2}{r_B} + \frac{e^2}{R} \right\} \quad \dots (178)$$

وعندئذ فالمعادلة المراد حلها (  $\hat{H}\Psi = E\Psi$  ) تكتب كالتالي :

$$\hat{H} = -\frac{\hbar^2}{2m_e} \nabla_e^2 \Psi + \left\{ -\frac{e^2}{r_A} - \frac{e^2}{r_B} + \frac{e^2}{R} \right\} \Psi = E\Psi \quad \dots (179)$$

وكافتراض مقبول نتصور أن الدالة الموجية ( الأوريبيتال الجزيئي ) لأيون جزء الهيدروجين تتركب من أوريبيتالين ذرتين من نوع  $Is$  ، نرمز لهما  $Is_A$  ،  $Is_B$  ( إن كلاً منها يمثل أوريبيتال ذرة الهيدروجين وهو :

$$\left( 1s = \frac{1}{\sqrt{\pi}} \left( \frac{1}{a} \right)^{3/2} \exp \left( -\frac{r}{a} \right) \right)$$

ويعرف هذا التركيب بالاتحاد الخطى للمدارات الذرية ( Linear Combination of atomic Orbitals ( LCAO ) وهذا نكتب  $\Psi$  كما يلى :

$$\Psi = \frac{1}{N} ( 1s_A + 1s_B ) \quad \dots ( 180 )$$

( حيث  $N$  هو ثابت التناقض ) .

أما الطاقة فيمكن حسابها ( كما مر سابقاً ) من :

$$\begin{aligned} E &= \frac{\int \Psi^* \hat{H} \Psi d\tau}{\int \Psi^* \Psi d\tau} \\ &= \frac{\frac{1}{N^2} \int ( 1s_A^* \hat{H} 1s_A^* \hat{H} 1s_B + 1s_B^* \hat{H} 1s_A + 1s_B^* \hat{H} 1s_B ) d\tau}{\frac{1}{N^2} \int ( 1s_A + 1s_A^* 1s_B + 1s_B^* 1s_A + 1s_B^* 1s_B ) d\tau} \\ &= \frac{H_{AA} + H_{AB} + H_{BA} + H_{BB}}{S_{AA} + S_{AB} + S_{BA} + S_{BB}} \quad \dots ( 181 ) \end{aligned}$$

حيث إن :

ويسبب تمايز ( أو تناقض ) أيون جزء الهيدروجين في كلتا النواتين كما هو واضح من الشكل السابق وكذلك لكون  $1s_B$ ,  $1s_A$  متناسبة لذا نكتب :

$$H_{AA} = H_{BB}, H_{AB} = H_{BA}, S_{AB} = S_{BA}, S_{AA} = S_{BB} = 1$$

يسمى  $S_{AB}$  بتكامل التراكيب overlap integral . وإن قيمته تعود إلى تراكيب أو منطقة المشاركة في الفراغ بين الذرتين A , B . وهكذا تصبح معادلة (181) كالتالي :

$$E = \frac{2H_{AA} + 2H_{AB}}{2 + 2S_{AB}} = \frac{H_{AA} + H_{AB}}{1 + S_{AB}} \quad \dots (182)$$

إن حساب كل حد في المعادلة (182) يتطلب معالجة رياضية واسعة . وسنعرض بإيجاز لبعضها هنا . فمثلاً :

$$H_{AA} = \int 1s_A^* \hat{H} 1s_A d\tau$$

نعرض فيها عن  $\hat{H}$  من معادلة (178) لنجعل على :

$$\begin{aligned} H_{AA} &= 1s_A^* \left[ \frac{\hbar^2}{2m_e} \nabla_e^2 - \frac{e^2}{r_A} \right] 1s_A d\tau + \int 1s_A^* \left[ -\frac{e^2}{r_B} + \frac{e^2}{R} \right] 1s_A d\tau \\ &= E_{1s} + \int 1s_A^* \left( -\frac{e^2}{r_B} \right) 1s_A d\tau + \int 1s_A^* \left( \frac{e^2}{R} \right) 1s_A d\tau \\ &= E_{1s} + J + \frac{e^2}{R} \int 1s_A^* 1s_A d\tau \\ &= E_{1s} + J + \frac{e^2}{R} \end{aligned} \quad \dots (183)$$

حيث إن  $J$  أو  $\left( \int 1s_A^* \left( -\frac{e^2}{r_B} \right) 1s_A d\tau \right)$  يمثل طاقة جذب الإلكترون من قبل البروتون B .

وإذا اقترب البروتون وذرة الهيدروجين من بعضهما فسوف يميل  $H_{AA}$  إلى جعل النظام مستقراً مادام الحد القانوني في (183) سيصبح أكثر سلبية كلما نقصت المسافة R وعلى أية حال . هذه الاستقرارية تتحلى من قبل التنافر بين النوى .

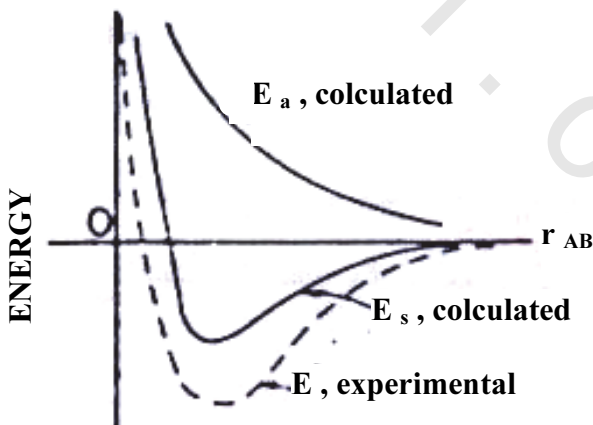
أما  $H_{AB}$  فيمكن حسابه بطريقة مشابهة لما ذكر أعلاه ، وقد وجد أنه يساوي :

$$H_{AB} = E_{1s} S_{AB} + K + \frac{e^2}{R} S_{AB} \quad \dots (184)$$

حيث إن  $K$  أو  $\left( \int 1s_A^* \left( -\frac{e^2}{r_A} \right) 1s_B d\tau \right)$  يسمى بتكامل التبادل exchange integral لأنه يتضمن حركة الإلكترون حول النواتين . والآن سيكون التعبير النهائي للطاقة ( بدالة  $J$  و  $K$  ،  $S_{AB}$  الذي يمكن حسابهم ) بعد تعويض معادلتي (182) ، (183) ، (184) كالتالي :

$$E = E_{1s} + \frac{e^2}{R} + \frac{J + K}{1 + S_{AB}} \quad \dots (185)$$

ولقد وجد أن تكامل التبادل  $K$  يكون سالباً في حين يكون  $J$  موجباً وعند حل معادلة (185) لعدد من قيم  $R$  ( المسافة النووية البينية ) فإننا سنحصل على قيم مناظرة للطاقة . ويمكن رسم هذه القيم تخطيطياً مقابل  $r_{AB}$  لنحصل على الشكل التخطيطي التالي :



منحنيات طاقة الجهد النظرية والعملية لأيون  $H^+2$

حيث  $E_s$  تعود للطاقة المعطاة في معادلة (185) أعلاه . وكما هو واضح ظهر عندنا جزئية مستقرة لبعض من قيم  $R$  .  
والآن عندما نختار دالة موجية أخرى ( انظر معادلة (180) ) مثل :

$$\Psi = \frac{1}{N} ( 1s_A - 1s_B ) \quad \dots (186)$$

فإننا وبطريقة مشابهة لما ذكر أعلاه سنحصل على :

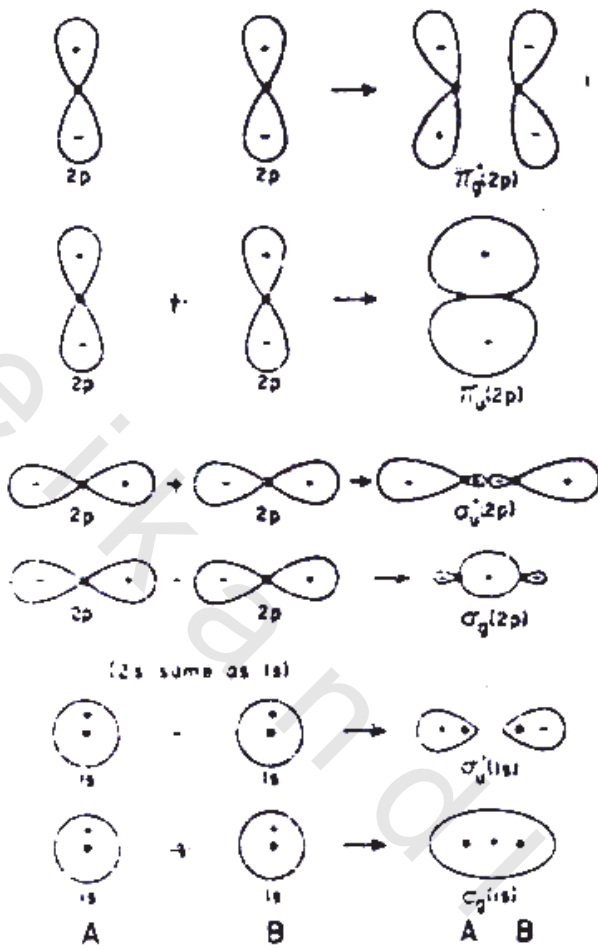
$$E_a = E_{1s} + \frac{e^2}{R} + \frac{J + K}{1 - S_{AB}} \quad \dots (187)$$

هذه الطاقة قد رسمت أيضاً في المخطط السابق وإن الرموز  $s$  ،  $a$  الموجودة أسفل رمز الطاقة الكلية ( أي  $E_s$  ،  $E_a$  ) تشيران إلى التماثل ( أو التنااظر ) antisymmetric ومضاد التماثل symmetric .

فالمعادلة (180) هي متناظرة نسبة إلى تبديل  $A$  ،  $B$  في حين معادلة (186) يحدث تغير في الإشارة عند إجراء نفس التبديل ولذا فهي مضادة للتماثل . وقد حسبت  $E_s$  عند  $R = 1.32A^0$  ( النهاية الدنيا في المنحني ) وكانت تساوي  $1.76 \text{ eV}$  . بينما كانت النتيجة العملية تساوي  $-2.79 \text{ eV}$  عند  $R = 1.06 A^0$  وكما هو واضح فإن نتيجتنا ليست جيدة .

ويمكن إجراء بعض التحسينات على الدالة المختارة وذلك بإدخال عامل التغيير  $Z$  في هذه الدالة وبإنجاز هذا فقد تم الحصول على  $E_s = -2.25 \text{ eV}$  عند  $R = 1.06A^0$  لقيمة  $Z' = 1.228$  .

ويمكن معالجة الحالات المتهيجية وهي العالية الطاقة لأيون جزء الهيدروجين بطريقة مشابهة لما ذكرناه سابقاً في حساب طاقاتها والتوزيع الإلكتروني لكل حالة . وتدون النتائج في الشكل التالي :



الأوربيتالات الجزئية ( المكونة من الاتحاد الخطى للأوربيتالات الذرية ) والتوزيعات الاحتمالية الإلكترونية لأيون  $H_2^+$

ومما يجدر ملاحظته هو أن جميع هذه الحلول هي تقريبية . وفي هذا الشكل ظهرت رموز على المدارات الجزئية ، فالمدار الجزيئي  $\sigma$  يعود إلى التركيب المباشر لمدارين في ذرتين .

بينما المدار الجزيئي  $\pi$  فيكون عندما يقترب مداران ذريان من نوع P ، ويكون محوري المدارين متوازيين لبعضهما البعض وعموديين على محور الرابطة B – A .

أما الرمز \* ( أو علامة النجمة ) فتشير إلى المدار المضاد الارتباط وهو المدار غير المستقر لجميع قيم وكذلك يظهر الرموز g و u وهما يشيران إلى نوع التمايز للأوربيتال نسبة إلى الانقلاب خلال النقطة الوسطى بين النواتين .

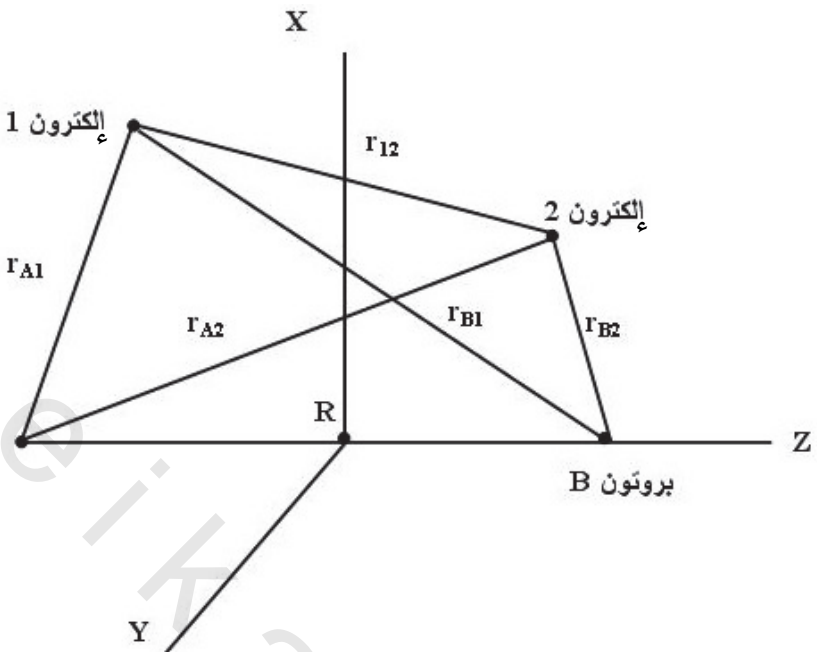
فالرمز g يشير إلى أن دالة المدار لا تتغير عندما تنجز عملية الانقلاب أي أن المدار يكون متماثلاً أما الرمز u فيدل على أن دالة المدار تغير الإشارة عندما تنجز عملية الانقلاب، أي أن المدار هو مضاد التمايز .

### ب ) جزء الهيدروجين $H_2$ :

إن توسيع المعالجة السابقة ( مع أيون  $H_2^+$  ) لتشمل جزء الهيدروجين أمر واضح المعالم ولكن الحسابات تزداد تعقيداً .

ففي جزء الهيدروجين والمبين في الشكل التالي بالإضافة إلى تجاذبات إلكترون - نواة وتنافر نواة - نواة يوجد تنافر إلكترون - إلكترون .

وفي الحقيقة يعتبر الحصول على حل مضبوط أمر غير ممكن والخطوات التي يمكن اتباعها هنا تشبه تلك المتبعة مع  $H_2^+$  ( إلا أنها أكثر صعوبة ) والدلالات المختارة التي سنستخدمها هنا تشبه تلك المعطاة في معادلة (180) ويوضع كل إلكترون في مدار يرمز له بـ  $\psi$  .



المسافات المستعملة في مناقشة مسألة جزئي الهيدروجين

$$\left. \begin{aligned} \psi(1) &= \frac{1}{N} [1s_A(1) + 1s_B(1)] \\ \psi(2) &= \frac{1}{N} [1s_A(2) + 1s_B(2)] \end{aligned} \right\} \dots (188)$$

أما الدالة التي نستخدمها لمعادلة شرودنجر فهي تساوي حاصل ضرب الدالتين  $\psi(1)$  و  $\psi(2)$  أي أن :

$$\psi_1 = \frac{1}{N} \psi(1) \psi(2) \dots (189)$$

حيث  $N$  هو ثابت التناسق .

وعند تعويض معادلة (188) في معادلة (189) ومن ثم ترتيب الحدود نحصل على :

$$\begin{aligned}\Psi_1 &= \frac{1}{N^2} [1s_A(1)1s_A(2) + 1s_B(1)1s_B(2)] + \frac{1}{N^2} [1s_A(1)1s_B(2) \\ &\quad + 1s_A(2)1s_B(1)] \\ &= \Psi_{\text{ionte}} + \Psi_{\text{cov}}\end{aligned}$$

حيث  $\text{cov}$ . تشير إلى الخاصية التساهمية و  $\text{ionic}$  إلى الخاصية الأيونية إن أول حدين في المعادلة أعلاه هما حدا الأيونية  $\text{ionic terms}$ . وهذا نرى أن كلا الإلكترونين على إحدى النواتين . أما الحدين الآخرين فهما حدي التساهمية  $\text{covalent terms}$  وهذا يتم المشاركة بالإلكترون .

إن الطاقة المحسوبة من استخدام هذه الدالة غير مرضية ، هذا لا يثير دهشتنا لأن هذه الدالة تتضمن ثقلاً متساوياً من الحدود الأيونية والتساهمية فإذا أهملنا الحدود الأيونية كلّاً فإننا سنحصل على قيم جيدة ومتسقة مع النتيجة العملية .

ويمكن الحصول على نتيجة أكثر جودة عندما نضع عاملًا متغيراً  $\lambda$  في حدود الأيونية، ومن ثم نخفض الطاقة إلى الحد الأدنى بإجراء التفاضل نسبة إلى ذلك المتغير هذه الطريقة تعطي  $\lambda = 0.16$  .

إن الدالات الموجية التي اخترناها قد أعطت طاقة ربط ( أو طاقة جهد ) أقل من قيم الطاقة للذرات المنفصلة .  
أما الآن فنختار دالة موجية جديدة وكما يلي :

$$\left. \begin{aligned}\Psi(1) &= \frac{1}{N} [1s_A(1) - 1s_B(1)] \\ \Psi(2) &= \frac{1}{N} [1s_A(2) - 1s_B(2)] \\ \Psi_{11} &= \frac{1}{N} \Psi(1)\Psi(2)\end{aligned} \right\} \dots (190)$$

وكما هو واضح فإن هذه الدالة الموجية ( $\psi_{11}$ ) تعطي دائمًا قيمًا طاقية أعلى من طاقة الذرات المنفصلة . وبذا فالجزيئية تكون غير مستقرة عندنا تصف بواسطة  $\psi_{11}$  ويقال لها أوربيتال مضاد الارتباط في حين تمثل  $\psi_1$  الأوربيتال الارتباطي .

### وصف نظرية رابطة - التكافؤ لجزيئه الهيدروجين :

لقد افترضنا أعلاه بأن المدار الجزيئي قد تكونت ثم أضيفت الإلكترونات لتكوين الجزيئي . وهناك طريقة أخرى تفترض بأن كل ذرة ستحتفظ بكتيابها عند تكوين الجزيئي .

أي يحصل الإلكترونون (1) على الذرة A والإلكترون (2) على الذرة B أما الدالة الموجية لمثل هذا النوع فتكتب كالتالي :

$$\psi_1 = 1s_A (1) 1s_B (2) \dots (191)$$

لهذه الدالة قد أعطت أقل طاقة مقدارها  $0.4 \text{ eV}$  - عند مسافة  $1\text{A}^0$  وعند مقارنتها بالنتيجة العملية  $4.745 \text{ eV}$  - عند  $0.74\text{A}^0$  فهو واضح أن النتيجة النظرية أعلاه غير مشجعة .

وقد أجرى تحسيناً لهذه الدالة الموجية بأخذ مبدأ المشاركة الإلكترونية بنظر الاعتبار أي :

$$\psi_{11} = 1s_A (2) 1s_B (1) \dots (192)$$

وعند توحيد  $\psi_1$ ,  $\psi_{11}$  نحصل على :

$$\begin{aligned} \psi_s &= \frac{1}{N} [\psi_1 + \psi_{11}] \\ &= \frac{1}{N} [1s_A (1) 1s_B (2) + 1s_A (2) 1s_B (1)] \dots (193) \end{aligned}$$

هذه الدالة الموجية ( وهي تسمى بدالة هيتر - لندن أو دالة رابطة التكافؤ ) قد أعطت أقل طاقة مقدارها  $3.14 \text{ eV}$  - عند  $0.469$  . وهي نتيجة مقبولة عند مقارنتها بالنتيجة العملية المذكورة أعلاه . ومن عيوب الدالة الموجية  $\Psi_s$  أنها تحوي حدوداً تساهمية فقط ، وعند إضافة .

$$\Psi_{III} = 1s_A (1) 1s_A (2)$$

$$\Psi_{II} = 1s_B (1) 1s_B (2)$$

سوف يحسن من النتيجة .

### مخططات الترابط : Correlation Diagrams

لقد استخدمنا سابقاً حل ذرة الهيدروجين في إعطاء الجدول الدوري للعناصر ، وبالرغم من كون التداخلات الإلكترونية في الذرات المتعددة الإلكترونات هي معقدة إلا أن عدد الحالات الإلكترونية هي نفس تلك المحددة لذرة الهيدروجين وأن استخدام طريقة مماثلة مع الجزيئات سيكون ذا فائدة .

مخططات الترابط تعني عدد الحالات الإلكترونية **electronic states** في الجزيئات الثنائية الذرة مع أعداد الكم الماظرة للأوربيتالات الجزيئية . إن الأوربيتالات الجزيئية هذه تكون مرتبطة بالحالات الإلكترونية للذرات المنفصلة والذرات المتمدة .

ويمكننا الحصول على تصور واضح للمستويات الطيفية النسبية للمدارات الجزيئية وذلك باستخدام الذرة المتمدة . فلو تصورنا أننا بدأنا بذرتين هيدروجين ومن ثم سمحنا لهما بالاقتراب حتى الالتحام وتكون ذرة الهيليوم .

بهذه الطريقة نستطيع ربط **correlate** الأوربيتالات الذرية الأولية في ذرات الهيدروجين مع المدارات الذرية النهائية في ذرة الهليوم أما المدارات الجزيئية لـ  $H_2$  فإنها تقع في مكان ما على الخط الواصل بين الحالتين الأولية والنهائية عند المسافة النووية البنية الصحيحة لجزئي الهيدروجين .

فإذا تصورنا اندماج النواتين في نواة واحدة لها  $Z = 2$  وهي تعود إلى أوربيتال  $He'$  (أيون الهليوم) الذري (وما ذكرنا أعلاه هو أننا لا نعني في الحقيقة يمكنها الاندماج لأن هذا غير ممكن بسبب التناقض بين النوى) ومع ذلك يمكننا إهمال هذه التناقضات عندما نريد بناء مخططات الترابط .

وعندها سترى أن أوربيتالي  $1s$  في  $H'_2$  سيتحدا لتكوين مدار  $\sigma_g$  الجزيئي . فإذا سمحنا للنواتين بالترافق ( $R = 0$ ) فإننا سنحصل على مدار شبيه  $He'$  الذري الذي يمتلك خصائص  $1s$  . وسوف نرمز للمدار الذري المتحد بـ  $1s\sigma_g$  وللأوربيتال الذري المنفصل (المستقل) ( $1s_a$ ) من أجل توضيح العلاقة بين الاثنين .

وكما هو الحال مع الجدول الدوري للعناصر حيث كان يعطينا التسلسل في ملء المدارات الذرية ، فإن مخططات الترابط تعطينا التسلسل في ملء المدارات الجزيئية .

وعندما نستخدم مبدأ البناء ( **Aufbau Principle** ) الذي مر ذكره سابقاً حيث نضيف الإلكترونات لأقل مستوى طيفي متوفراً مع مراعاة عدم خرق مبدأ باولي للاستثناء ( لا يوجد إلكترونين لهما نفس البرم ويحتلان نفس الأوربيتال ) والآن لنأخذ المثال التالي :

## مثال :

اذكر تسميات الأوربيتال الجزيئي :

- ١ - جزيئة الهليوم .  $\text{He}_2$
- ٢ - جزيئة التتروجين .  $\text{N}_2$

ثم ما هي رتبة الرابطة وكذلك عدد الإلكترونات غير المزدوجة في كل منها .

**الحل :**

(١) جزيئة الهليوم  $\text{He}_2$  :

يمثل  $\text{He}_2$  أربع إلكترونات . ويدخل الإلكترون الأول إلى  $(1s)$   $\sigma$  وببرم معلوم ( وعادة يشار لاتجاه البرم بـ  $\sigma$  كما هو مبين أدناه ) :

ويدخل الإلكترون الثاني إلى  $(1s)$   $\sigma$  وببرم معاكس لبرم الإلكترون الأول .



إن كل أوربيتال يسع لإلكترونين فقط لذا فإن الإلكترون الثالث والرابع سيدخلان الأوربيتال اللاحق  $(1s)^{*}$  وستكون تسمية الأوربيتال الجزيئي  $\text{He}_2$  بالشكل  $(1s)^2 \sigma^*(1s)^2$  ولا توجد إلكترونات منفردة .

$$b = \frac{N_B - N_{AB}}{2} \dots (194)$$

حيث  $N_B$  عدد الإلكترونات الارتباطية  $N_{AB}$  هو عدد الإلكترونات المضادة للارتباط وبالنسبة لـ  $\text{He}_2$  تكون رتبة الآصرة :

$$b = \frac{2 - 2}{2} = 0$$

ولذلك لا يوجد ميل لـ  $\text{He}_2$  بتكوين مركب مستقر .

٢) جزيئه النتروجين  $N_2$  :

إن عدد الإلكترونات الموجودة في الجزيئه هي 14 . وستملأ الإلكترونات الثمانية الأولى الأوربيتالات التالية :  
 $\sigma (1s)^2 \sigma^* (1s)^2 \sigma (2s)^2 \sigma^* (2s)^2$

وهذا سيترك ستة إلكترونات التي بدورها ستدخل الأوربيتالات الجزيئه المكونه من أوربيتالات  $p$  . فالإلكترون التاسع سيدخل في إحدى أوربيتالي  $(2p)$   $\pi$  ويدخل الإلكترون العاشر في الآخر كما هو مبين أدناه :

-----  $\sigma^* (2p)$

-----  $\pi^* (2p)$

-----  $\sigma (2p)$

---- ↑----↑---  $\pi (2p)$

ويدخل الإلكترون الحادي عشر والثاني عشر إلى أوربيتالي  $(2p)$   $\pi$  وبيرم معاكس ولم يبق سوى إلكترونين سيملأن  $(2p)$   $\sigma$  أي :

-----  $\sigma^* (2p)$

-----  $\pi^* (p)$

----- ↑↓-----  $\sigma (2p)$

---- ↑↓----- ↑↓---  $\pi (2p)$

ولا توجد هنا إلكترونات منفردة ، أما رتبة الرابطة  $b$  فهي :

$$b = \frac{N_p - N_{AB}}{2} = \frac{10 - 4}{2} = 3$$

وتكون تسمية الأوربيتال الجزيئي كالتالي :

$\sigma (1s)^2 \sigma^* (1s)^2 \sigma (2s)^2 \sigma^* (2s)^2 \pi (2p) \pi^* (2p)^2 \sigma (2p)^2$

أما الآن فنضيف بعض الشيء عن أشكال المدارات المكونة :

إن أبسط طريقة لتصور هذه المدارات الجزئية هو تقريب مدارات من بعضها البعض للداخل ويمكن عمل هذا تخطيطياً من دون صعوبات . ولكن بنفس الوقت توجد نقطة مهمة يجب إنجازها قبل كل شيء . هذه النقطة تتعلق بالتماثل . **symmetry**

إن الدالات المكونة للأوربيتالات الذرية والجزئية تكون متماثلة مضادة التماثل **antisymmetrical** نسبة إلى التغير في إشارة جميع الإحداثيات .

فإذا كانت الدالة تمتلك خاصية التماثل ( أي أن :  $f(x,y,z) = f(-x,-y,-z)$  ) يعطي لها الرمز السفلي **gerade** ( وهو مشتق من **gerade** ) أما في حالة الدالة  $f(x,y,z) = -f(-x,-y,-z)$  فهي مضادة التماثل ويعطي لها الرمز السفلي **ungerade** ( وهي من

إن الدالة **s** هي دائماً موجبة ، أما دالة **p** فهي موجبة لقيم الإحداثي الموجبة وتكون سالبة لقيم الإحداثي السالبة .

وإذا جعلنا أوربيتالين يتداخلان فإننا ينبغي أن نأخذ إشارة الدالة بنظر الاعتبار كما هو مبين في الشكل نفسه . ومما نلاحظه من الشكل أن الأوربيتالات الجزئية الارتباطية تحتوي على كثافة إلكترونية متمرکزة بين النواتين .

وهذه الحالة في حالة ارتباطية لأن الإلكترون الموجود في النواتين يكون مجدوباً لكليهما . أما في حالة الأوربيتالات المضادة الارتباط ، تقع الكثافة الإلكترونية خارج الحيز الموجود بين النواتين وبالتالي فهي لا تساهم بالترابط .

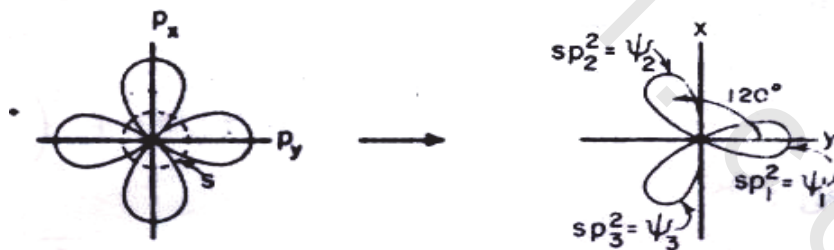
## التهجين : Hybridization

إن امتلاك الجزيئات لأشكال محددة يعني وجود خاصية اتجاهية للروابط المكونة حول ذرة ما . ومن الطرق التي تعالج هذه المسألة الطريقة الهندسية **geometrical approach** . وهنا ينبغي الإقرار بإمكانية الروابط التساهمية بامتلاكها خاصية اتجاهية .

و سنحاول تكوين مدارات هجينية تلائم هذه الاتجاهات . وكثيراً ما تصدق في الدراسات الكيميائية التهجين  $sp$  و  $sp^2$  و  $sp^3$  و .... وهذه الحدود تعني أننا أخذنا دالة و جعلناها تتحدد ( أو تتدخل ) مع واحدة من دالات  $p$  أو اثنين أو ثلاثة منها لتعطي أوربيتالين أو ثلاثة أو أربعة مهجنة .

ولنفترض أننا نريد أوربيتالات  $sp^2$  المكونة والتي تمتلك التوجيه المحدد الآتي :

وهنا يظهر لنا أنه توجد دالة  $p$  لم تشارك وهي العمودية على المستوى  $xy$  . وإن القواعد العامة الممكن اتباعها هي :



١ ) نستخدم طريقة MO - LCAO ( طريقة الاتحاد الخطى للمدارات الذرية LCAO من أجل تكوين مدارات الجزيئية  $\Psi = \sum c_{ji} \phi_i$  ) .

( ٢ ) تكون المدارات الهرجينية متناسبة :

$$= \sum_j c_{ij}^2 = 1 \quad , \quad \sum_i c_{ji}^2 = 1$$

( ٣ ) تكون مساهمة  $\phi_x$  ( مدار s ) إلى جميع المدارات الهرجينية هي متساوية .

( ٤ ) إن المدار الذري العمود على تلك المختارة للمدار الهرجين سوف لا يساهم في المدار الهرجين .

ولنفترض أننا استعملنا دالات  $2s$  ،  $2p$  ( ملاحظة سنهمل الرقم 2 ) ومن أجل تبسيط الرموز نجعل :

$$\phi p_x = \phi_x$$

$$\phi p_y = \phi_y$$

$$\phi p_z = \phi_z$$

والآن نطبق القاعدة الأولى :

$$\left. \begin{array}{l} \phi_1 = C_{1s} \phi_s + C_{1x} \phi_x + C_{1y} \phi_y + C_{1z} \phi_z \\ \phi_2 = C_{2s} \phi_s + C_{2x} \phi_x + C_{2y} \phi_y + C_{2z} \phi_z \\ \phi_3 = C_{3s} \phi_s + C_{3x} \phi_x + C_{3y} \phi_y + C_{3z} \phi_z \\ \phi_4 = C_{4s} \phi_s + C_{4x} \phi_x + C_{4y} \phi_y + C_{4z} \phi_z \end{array} \right\} \dots ( 195 )$$

ولقد بينا أعلاه أن  $\phi_4$  هي  $\phi_z$  ( وهو يمثل دالة p غير المساهمة في المدار الهرجين لذا فإن  $C_{4s} = C_{4x} = C_{4y} = 0$  وكذلك وفقاً للقاعدة ( 4 ) يكون :

$$C_{1z} = C_{2z} = C_{3z} = 0$$

وهكذا تختزل مجموعة المدارات الموجودة في معادلة ( 195 ) إلى :

$$\left. \begin{array}{l} \phi_1 = C_{1s} \phi_s + C_{1x} \phi_x + C_{1y} \phi_y \\ \phi_2 = C_{2s} \phi_s + C_{2x} \phi_x + C_{2y} \phi_y \\ \phi_3 = C_{3s} \phi_s + C_{3x} \phi_x + C_{3y} \phi_y \\ \phi_4 = \phi_z \end{array} \right\} \quad \dots (196)$$

و عند استخدام قاعدتي (3) و (2) نكتب الآتي :

$$C_{1s} = C_{2s} = C_{3s} \quad (\text{وفقاً لقاعدة (3)}) \quad \dots (197)$$

$$C_{1s}^2 + C_{2s}^2 + C_{3s}^3 = 1 \quad (\text{وفقاً لقاعدة (2)}) \quad \dots (198)$$

و عند حل معادلتي (197) و (198) نحصل على :

$$C_{1s} = C_{2s} = C_{3s} = 1 / \sqrt{3}$$

و عندئذ :

$$\left. \begin{array}{l} \Psi_1 = \frac{1}{\sqrt{3}} \phi_s + C_{1x} \phi_x + C_{1y} \phi_y \\ \Psi_2 = \frac{1}{\sqrt{3}} \phi_s + C_{2x} \phi_x + C_{2y} \phi_y \\ \Psi_3 = \frac{1}{\sqrt{3}} \phi_s + C_{3x} \phi_x + C_{3y} \phi_y \\ \Psi_4 = \phi_z \end{array} \right\} \quad \dots (199)$$

وكما هو واضح  $\Psi_1$  تكون عمودية على  $x$  ( لاحظ الشكل أعلاه ) و اعتماداً على قاعدة (4) فإن  $P_x$  سوف لا تساهم للأوربيتال  $\Psi_1$  عندئذ يكون :

$$\Psi_1 = \frac{1}{\sqrt{3}} \phi_s + C_{1y} \phi_y \quad \dots (200)$$

وباستخدام قاعدة (2) نكتب :

$$\left( \frac{1}{\sqrt{3}} \right)^2 + (C_{1y})^2 = 1 \quad \dots (201)$$

ومنها نحصل على :

$$C_{1y} = \sqrt{\frac{2}{3}} \quad \dots (202)$$

وعندئذ نكتب :

$$\left. \begin{array}{l} \Psi_{1y} = \frac{1}{\sqrt{3}} \phi_s + \sqrt{\frac{2}{3}} \phi_y \\ \Psi_2 = \frac{1}{\sqrt{3}} \phi_s + C_{2x} \phi_x + C_{2y} \phi_y \\ \Psi_3 = \frac{1}{\sqrt{3}} \phi_s + C_{3x} \phi_x + C_{3y} \phi_y \\ \Psi_4 = \phi_s \end{array} \right\} \quad \dots (203)$$

ومما نلاحظه أيضًا أن  $\Psi_2$  و  $\Psi_3$  كلاهما يقعان بزاوية  $60^\circ$  من المحور y وهذا يعني أن مسقطي  $\Psi_2$ ,  $\Psi_3$  على المحور يكونان متساوين أي أن :  $C_{2y} = C_{3y}$  والآن نطبق القاعدة (2) على ثوابت y في المعادلة (203) .

$$\left( \frac{2}{\sqrt{3}} \right)^2 + C_{2y}^2 + C_{3y}^2 = \frac{2}{3} + 2C_{2y}^2 = 1$$

$$C_{2y} = C_{3y} = \pm \frac{1}{\sqrt{6}} \quad \text{ومنها نحصل على :}$$

$$\Psi_1 = \frac{1}{\sqrt{3}} \phi_s + \sqrt{\frac{2}{3}} \phi_y \quad \text{وستكون الأوربيتالات كما يلي :}$$

$$\Psi_2 = \frac{1}{\sqrt{3}}\phi_z + C_{2x}\phi_x - \frac{1}{\sqrt{6}}\phi_y \quad \dots (204)$$

$$\Psi_3 = \frac{1}{\sqrt{3}}\phi_z + C_{3x}\phi_x - \frac{1}{\sqrt{6}}\phi_y$$

$$\Psi_3 = \phi_z$$

ملاحظة :

كما هو واضح كما سبق تكون  $(C_{2y} = C_{3y} = -\frac{1}{\sqrt{6}})$  أما  $C_{2x}$  ،  $C_{3z}$  فيمكن إيجادها وفقاً لقاعدة (2) حيث يكون :  $C_{2x}^2 + C_{3x}^2 = 1$  . وبما أن  $\Psi_2$  و  $\Psi_3$  تقعان بزاوية  $30^\circ$  من المحور  $x$  فإن المقطفين سيكونان متساوين ما عدا اختلافهما بالإشارة على هذا الأساس فإن :

$$C_{2\infty} = \frac{1}{\sqrt{2}}, C_{3\infty} = -\frac{1}{\sqrt{2}}$$

وهكذا نكتب الأوربيتالات النهائية كالتالي :

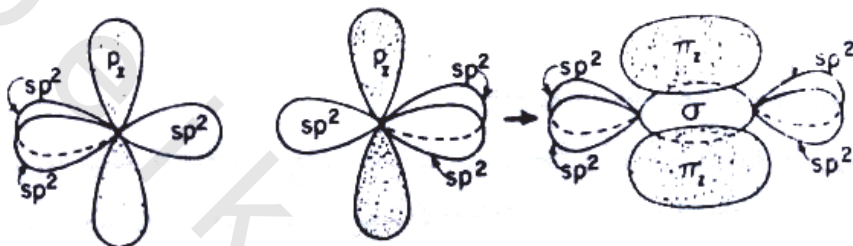
$$\begin{aligned} \Psi_2 &= \frac{1}{\sqrt{3}}\phi_s + \sqrt{\frac{2}{3}}\phi_y \\ \Psi_1 &= \frac{1}{\sqrt{3}}\phi_s + \frac{1}{\sqrt{2}}\phi_\infty - \frac{1}{\sqrt{6}}\phi_y \quad \dots (205) \\ \Psi_3 &= \frac{1}{\sqrt{3}}\phi_s + \frac{1}{\sqrt{2}}\phi_x - \frac{1}{\sqrt{6}}\phi_y \\ \Psi_4 &= \phi_z \end{aligned}$$

و قبل النظر في أشكال الأوربيتالات الهجينية يمكنك التمرن على تركيب أوربيتالات هجينية أخرى .

والآن نرجع لننظر في أشكال المدارات الهجينية ولنأخذ أولاً :

## ١ - النوع $sp^2$ :

إن أشكال المدارات التي غالباً ما نراها في دروس الكيمياء العضوية يمكن الحصول عليها بسهولة من المدارات الهجينية . فمثلاً إذا كان عندنا ذرتان فما تهجين من نوع  $sp^2$  وبعد تداخل هاتين الذرتين فإننا سنحصل على الصورة الجانبية التالية :



إن ترافق أوربيتالي  $sp^2$  يعطي رابطة  $\sigma$  أما التداخل الجانبي لأوربيتالي  $p_2$  . العمودية على  $sp^2$  سيعطي رابطة  $\pi$  وكل التداخلين سيعطي رابطة مزدوجة وأبسط مثال على ذلك هو الأثيلين :

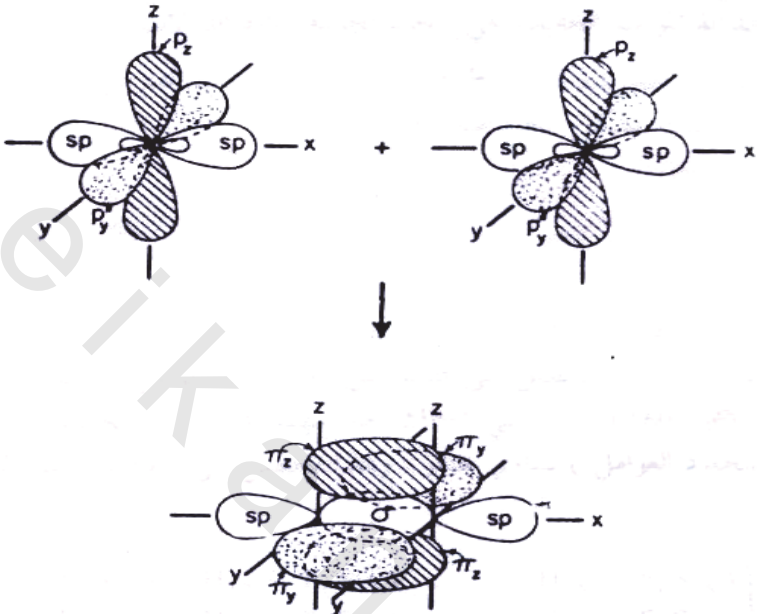


أما ذرات الهيدروجين فترتبط بالكربون وذلك عن طريق ترافق مدار الهيدروجين  $s$  مع مدار الكربون الهجين  $sp^2$  .

## ٢ - النوع $sp$ :

إن اقتراب ذرتين مهجنة من نوع  $sp$  يوضح بالشكل التالي ، إن أوربيتالي  $p_z$  يتداخلان لتكوين  $\pi_2$  ذي فص فوق المستوى  $xy$  وآخر تحته .

ونفس الشيء يحدث لمداري  $p_y$  وتكون مدار  $\pi_y$  فوق وتحت المستوى  $xz$ . أما مداري  $sp$  المقابلة لبعضها البعض سوف تتدخل فيما بينها لتكوين رابطة  $\sigma$ .



والنتيجة هي تكون رابطة ثلاثة بين الذرتين ، كما هو الحال في الأستيلين  $H - C \equiv C - H$  . أما ذرتا الهيدروجين فتتدخل عن طريق مدار  $S$  لكل منها مع مداري  $sp$  الهجيني المتبقى لكل ذرة كربون .

### ٣- النوع $sp^3$ :

إذا استخدمت جميع أوربيتالات  $p$  الثلاثة لتكوين أوربيتال هجيني مع أوربيتالات  $s$  فإن النتيجة هي  $sp^3$  وأبسط مثال على هذا النوع

هو الميثان  $H - C - H - H$  الذي يأخذ شكل رباعي

السطح tetrahedral shape